

NCCI: Návrhový model styku sloupu příložkami bez kontaktu

Tento NCCI uvádí pravidla pro posouzení nekontaktního styku sloupu pro sloupy netuhých vazeb. Dále uvádí pravidla pro určení tahové vazebné únosnosti pro konstrukční celistvost. Pravidla lze použít pro stanovení celkové únosnosti spoje, pro všechny možné způsoby kolapsu uvedené v EN 1993-1-8 k určení únosností jednotlivých komponent spoje.

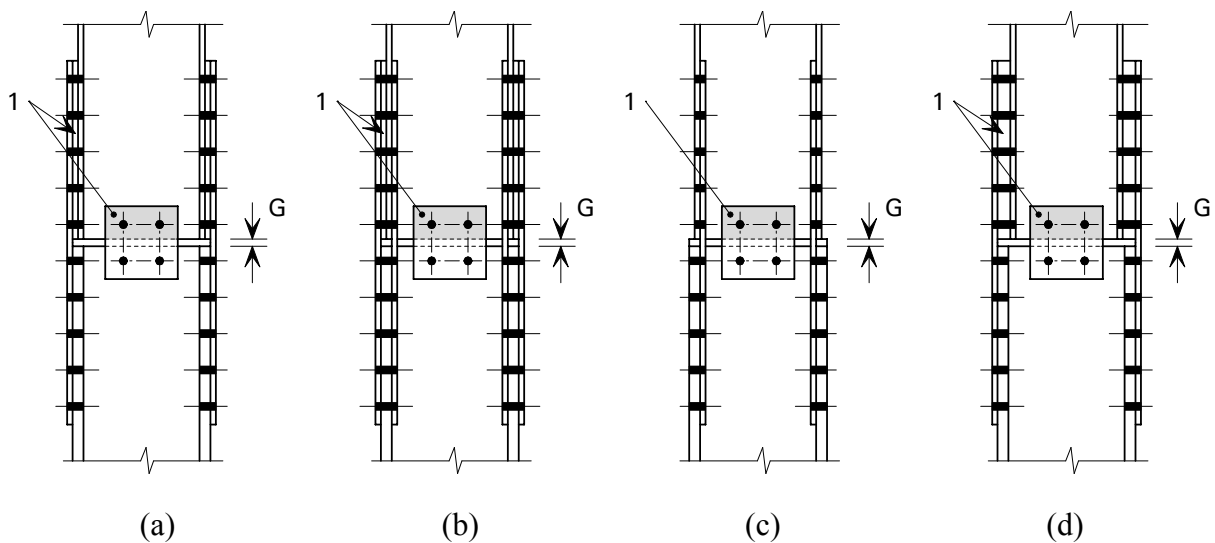
Obsah

| | | |
|-----|---|----|
| 1. | Obecně | 2 |
| 2. | Návrhový model | 3 |
| 3. | Geometrie | 5 |
| 4. | Příložka na pásnici | 7 |
| 5. | Šrouby na pásnici sloupu | 8 |
| 6. | Příložka na stěně | 10 |
| 7. | Šrouby v příložce na stěně | 10 |
| 8. | Šrouby ve stěně sloupu | 11 |
| 9. | Konstrukční celistvost při působení vazebných sil | 13 |
| 10. | Rozsah použití | 14 |
| 11. | Literatura | 14 |

1. Obecně

Ve styku sloupů příložkami bez kontaktu se síly přenášejí příložkami a šrouby a ne kontaktem mezi konci sloupů. Příklad styku sloupů je ukázán na obrázku 1.1. Styk se používá v případě, že se nepožaduje spojitost sloupů. Podrobnosti o návrhu sloupů a poloze styku jsou uvedeny v NCCI [SN025](#).

K předběžnému návrhu styku sloupů příložkami bez kontaktu je vypracováno NCCI [SN024](#). Návrhový model je vysvětlen dále.



Legenda:

- 1 Vložky (vystínovány tam, kde jsou zakryty příložkou na stěně)
- G Mezera mezi sloupy

Obrázek 1.1 Příklad styku sloupů příložkami bez kontaktu

- a) Příložky vně pásnice pro průřezy sloupů s pásnicemi ve styku nad sebou
- b) Příložky vně a uvnitř pásnice pro průřezy sloupů s pásnicemi ve styku nad sebou
- c) Příložky uvnitř pásnice pro průřezy sloupů s pásnicemi ve styku nad sebou
- d) Příložky vně pásnice pro průřezy sloupů s pásnicemi, které ve styku nejsou nad sebou

2. Návrhový model

Návrhový model platí pro styky sloupu příločkami bez kontaktu, které jsou zobrazeny na obrázku 1.1. Pro stručnost je postup podrobně popsán v této NCCI pouze pro tyk sloupu příločkami bez kontaktu v příločkách vně pásnic a ve dvou příločkách na stěně, tj. z obou stran stěny sloupu, jak je ukázáno na obrázku 1.1(d).

Návrhový model předpokládá, že se ohybový moment a část osová síly přenáší příločkami na pásnicích. Smyková síla a část osová síly je přenášena příločkami na stěně.

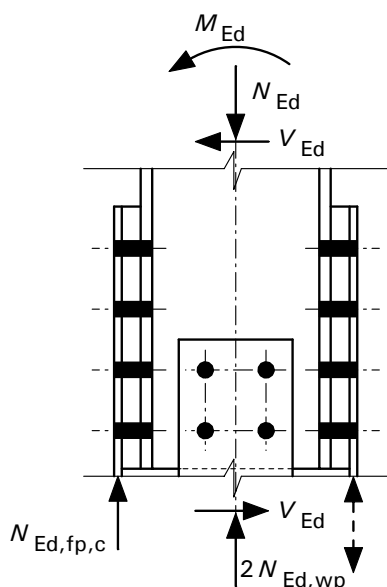
Alternativně lze předpokládat, že se ohybový moment a osová síla přenáší příločkami na pásnicích a příložky na stěně přenášejí pouze smykovou sílu. Toto řešení zde není rozebráno.

Předpokládá se, že umístění šroubů zabrání místnímu boulení příložek mezi spojovacími prostředky, a proto toto NCCI uvažuje pouze s únosností jejich průřezů.

Názory na použití šroubů v styku sloupu příločkami bez kontaktu se různí. Jsou-li šrouby umístěny podle kapitoly 3 NCCI [SN025](#), lze použít nepředepnuté šrouby ve spojích kategorie A. Je-li prokluz nepřijatelný, musí se navrhnout předepnuté šrouby ve spojích kategorie B, odolné prokluzu na mezi použitelnosti, nebo ve spojích kategorie C, odolné prokluzu na mezi únosnosti.

Pro největší návrhovou **tlakovou sílu** v příložkách na pásnicích a pro největší návrhovou tlakovou sílu v příložkách na stěně, viz obrázek 2.1,

- se předpokládá, že jsou všechny nosníky jsou namáhány kombinací stálého a proměnného zatížení.



$$N_{Ed} = N_{Ed,G} + N_{Ed,Q}$$

$$V_{Ed} = V_{Ed,G} + V_{Ed,Q}$$

M_{Ed} je nominální hodnota návrhového momentu (viz [SN005](#)) (od kombinací stálého a proměnného zatížení) v horním sloupu, tj. v úrovni podlahy bezprostředně pod příločkami.

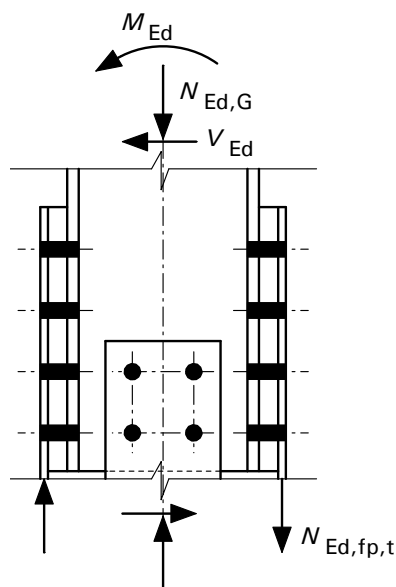
$$= M_{Ed,G} + M_{Ed,Q}$$

Pro stanovení $N_{Ed,fp,c}$ a $N_{Ed,wp}$, viz kapitoly 4 a **Chyba! Nenalezen zdroj odkazů..**

Obrázek 2.1 Pro největší tlak v příložkách na pásnici a stěně

Pro největší návrhovou **tahovou sílu** v příložkách na pásnici, viz obrázek 2.2, se předpokládá:

- pro nominální návrhový moment M_{Ed} , že nosníky jsou namáhány kombinací trvalých a proměnných zatížení.
- pro návrhovou osovou sílu ve sloupu $N_{Ed,G}$, že všechny nosníky jsou namáhány pouze trvalým zatížením.



$N_{Ed,G}$ je osová síla ve sloupu od trvalého zatížení ve všech sloupech

$$V_{Ed} = V_{Ed,G} + V_{Ed,Q}$$

M_{Ed} je nominální návrhový moment, viz [SN005](#), od stálého a proměnného zatížení v horním sloupu, tj. v úrovni podlahy bezprostředně pod příložkou.

$$= M_{Ed,G} + M_{Ed,Q}$$

Určení $N_{Ed,fp,t}$ viz kapitola 4.

Obrázek 2.2 Největší tah v příložkách na pásnicích

Návrhová únosnost a způsob porušení jsou dány nejmenší únosností z možných způsobů porušení. Pravidla pro jednotlivé způsoby porušení viz tabulka 2.1 dále.

Tabulka 2.1 Návrhová únosnost styku sloupu příložkami bez kontaktu

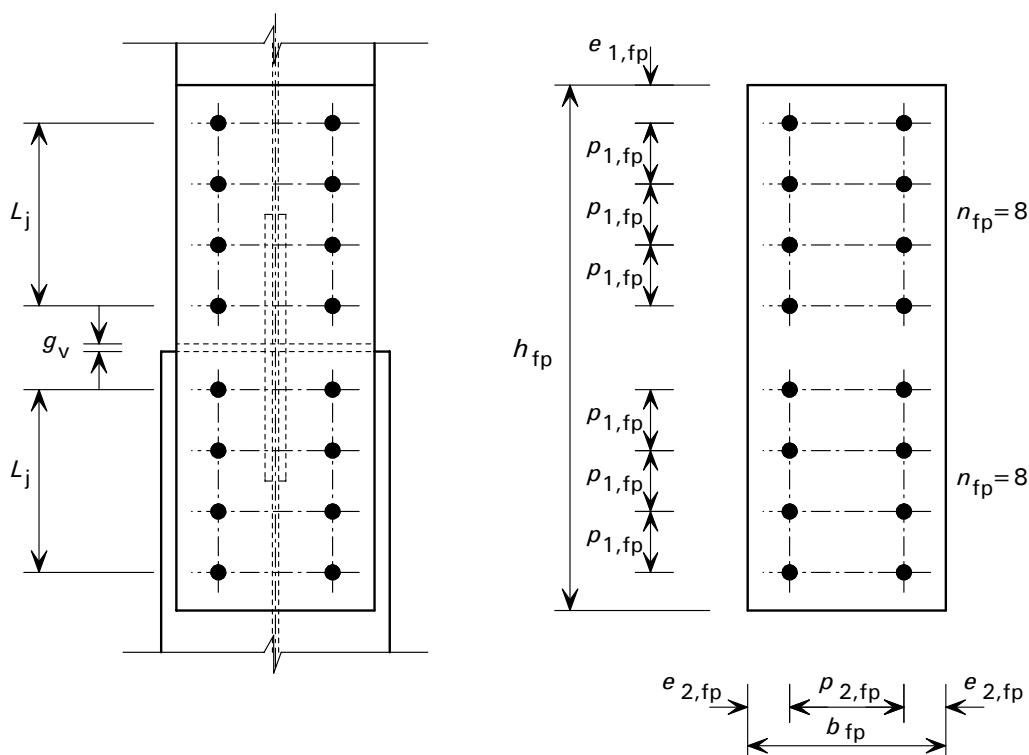
| Způsob porušení | | Kapitola |
|------------------------------|--------------------------------|----------|
| Příložka na pásnici v tlaku | $N_{Rd,fp,c}$ $N_{Rd,fp,t}$ | 4 |
| Šrouby v příložce na pásnici | $V_{Rd,fp}$ $V_{Rd,fp,ser}$ | 5 |
| Příložka na stěně sloupu | $N_{Rd,wp,c}$ | 6 |
| Šrouby v příložce na stěně | $V_{Rd,wp}$ $V_{Rd,wp,ser}$ | 7 |
| Šrouby ve stěně | $V_{Rd,w}$ $V_{Rd,w,ser}$ | 8 |
| Konstrukční celistvost styku | $N_{Rd,u}$ | 9 |

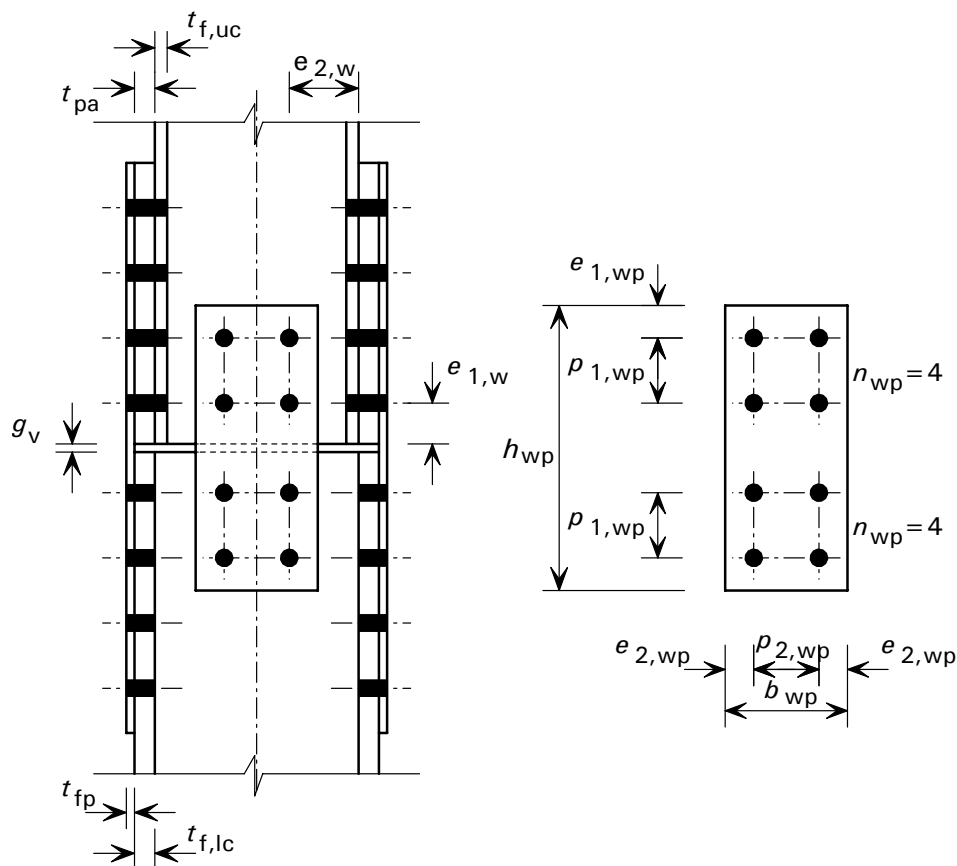
Seznam parametrů pro jednotlivé způsoby porušení je uveden v kapitole 3.

Omezení použitelnosti pravidel jsou uvedeny v kapitole 10.

Podklad k pravidlům je uveden v kapitole 11.

3. Geometrie





Obrázek 3.1 Styk sloupu příložkami detail a geometrie

| | |
|------------|-------------------------------------|
| A_{fp} | plocha příložky na pásnici |
| A_{wp} | plocha jedné příložky na stěně |
| $A_{f,lc}$ | plocha jedné pásnice dolního sloupu |
| $A_{f,uc}$ | plocha jedné pásnice horního sloupu |
| A_s | plocha šroubu účinná v tahu |
| A_{uc} | plocha horního sloupu |
| $A_{w,lc}$ | plocha stěny dolního sloupu |
| $A_{w,uc}$ | plocha stěny horního sloupu |
| $b_{f,uc}$ | šířka pásnice horního sloupu |
| b_{fp} | šířka příložky na pásnici |
| b_{wp} | šířka příložky na stěně |
| d | průměr šroubu |
| d_o | průměr otvoru pro šroub |
| f_{ub} | mez pevnosti šroubu |
| $f_{u,p}$ | mez pevnosti příložek |

| | |
|------------|--|
| $f_{u,uc}$ | mez pevnosti |
| $f_{y,p}$ | mez kluzu příložek |
| f_{yb} | mez kluzu šroubu |
| h_{fp} | výška příložky na pásnici |
| h_{uc} | výška průřezu horního sloupu |
| h_{wp} | výška příložky na stěně |
| n_{fp} | počet šroubů na jedné pásnici horního sloupu |
| n_{wp} | počet šroubů na stěně horního sloupu |
| $t_{f,lc}$ | tloušťka pásnice dolního sloupu |
| $t_{f,uc}$ | tloušťka pásnice horního sloupu |
| t_{fp} | tloušťka příložky na pásnici |
| t_{pa} | tloušťka vložky |
| $t_{w,lc}$ | tloušťka stěny dolního sloupu |
| $t_{w,uc}$ | tloušťka stěny horního sloupu |
| t_{wp} | tloušťka příložky na stěně |

Symbole, které nejsou uvedeny, lze nalézt v příslušných částech EN 1993.

4. Příložka na pásnici

Návrhová únosnost příložky sloupu na pásnici se posoudí na síly v tlaku a v tahu:

$$N_{Ed,fp,c} \leq N_{Rd,fp,c} \quad (1) \quad \text{pro tlak v příložce na pásnici}$$

$$N_{Ed,fp,t} \leq N_{Rd,fp,t} \quad (2) \quad \text{pro tah v příložce na pásnici}$$

Největší tlaková návrhová síla na příložku na pásnici sloupu $N_{Ed,fp,c}$ se vypočte jako

$$N_{Ed,fp,c} = \frac{M_{Ed}}{h_{uc}} + (N_{Ed,G} + N_{Ed,Q}) \left(\frac{A_{f,uc}}{A_{uc}} \right)$$

Největší tahová návrhová síla na příložku na pásnici $N_{Ed,fp,t}$ se vypočte jako

$$N_{Ed,fp,t} = \frac{M_{Ed}}{h_{uc}} - N_{Ed,G} \left(\frac{A_{f,uc}}{A_{uc}} \right)$$

kde

M_{Ed} je nominální návrhový moment, při působení stálých a proměnných zatížení, v horním sloupu, tj. v úrovni podlahy bezprostředně pod příložkami, viz NCCI [SN005](#).

Poznámka: Jestliže $N_{Ed,fp,t}$ je menší než nula, nepůsobí na příložku tahová síla a (2) není třeba posuzovat.

Návrhová únosnost příložky pásnice v tlaku $N_{Rd,fp,c}$ se vypočte podle [§ 6.2.4\(2\) of EN1993-1-1](#).

Návrhová únosnost příložky pásnice v tahu $N_{Rd,fp,t}$ se vypočte podle [§ 6.2.3\(2\) of EN1993-1-1](#).

$$N_{Rd,fp,t} = \min \left(\frac{A_{fp} f_{y,p}}{\gamma_{M0}}; \frac{0,9 A_{fp,net} f_{u,p}}{\gamma_{M2}} \right)$$

kde

$$A_{fp,net} = A_{fp} - 2t_{fp}d_o$$

5. Šrouby na pásnici sloupů

Únosnost šroubů v příložce na pásnici se posuzují na největší návrhovou osovou sílu, tj. v tlaku, v příložce na pásnici

$$N_{Ed,fp,c} \leq V_{Rd,fp}$$

Navíc pro šrouby ve spoji kategorie B nemá návrhová síla na mezi použitelnosti být větší než únosnost v prokluzu, tj. $N_{Ed,fp,c,ser} \leq V_{Rd,fp,ser}$

Návrhová únosnost skupiny šroubů je uvedena dále.

Šrouby ve spoji kategorie A

v otláčení a smyku ([§ 3.4.1\(1\) \(a\) normy EN1993-1-8](#))

$$V_{Rd,fp} = \min \left(\sum F_{b,Rd}; n_{fp} F_{v,Rd} \right)$$

kde

n_{fp} je počet šroubů, který působí mezi jednou příložkou na pásnici a horním sloupem

$F_{b,Rd}$ únosnost jednoho šroubu v otláčení v příložce na pásnici, která je uvedena v [tabulce 3.4 normy EN1993-1-8](#) ve tvaru

$$F_{b,Rd} = \frac{k_1 \alpha_b f_{u,p} d t_{fp}}{\gamma_{M2}}$$

kde je pro toto uspořádání

$$\alpha_b = \min \left(\frac{e_{1,fp}}{3d_o}; \frac{p_{1,fp}}{3d_o} - \frac{1}{4}; \frac{f_{ub}}{f_{u,p}}; 1,0 \right)$$

$$k_1 = \min \left(2,8 \frac{e_{2,fp}}{d_o} - 1,7; 1,4 \frac{p_{2,fp}}{d_o} - 1,7; 2,5 \right)$$

$F_{v,Rd}$ je návrhová únosnost jednoho šroubu ve smyku, uvedená v [tabulce 3.4 normy EN1993-1-8](#). Nicméně redukční součinitel β_p se použije pro $F_{v,Rd}$ jestliže tloušťka příložek t_{pa} je větší než třetina průměru šroubu d , viz [§ 3.6.1\(12\) normy EN1993-1-8](#)). Hodnota $F_{v,Rd}$ je proto dána

$$F_{v,Rd} = \frac{\beta_p \alpha_v f_{ub} A_s}{\gamma_{M2}}$$

$$\text{kde } \beta_p = \min \left(\frac{9d}{8d + 3t_{pa}}; 1 \right)$$

Šrouby ve spoji kategorie B

odolné prokluzu v mezním stavu použitelnosti, viz [§ 3.4.1\(1\) \(b\) normy EN1993-1-8](#)

$$V_{Rd,fp} = \min \left(\sum F_{b,Rd}; n_{fp} F_{v,Rd} \right)$$

$$V_{Rd,fp,ser} = n_{fp} F_{s,Rd,ser}$$

kde

n_{fp} , $F_{b,Rd}$ a $F_{v,Rd}$ jsou definovány dále

$F_{s,Rd,ser}$ je únosnost v prokluzu pro jednu třecí plochu jednoho šroubu třídy 8.8 nebo 10.9 v mezním stavu použitelnosti, která je vedena v [§ 3.9.1 normy EN1993-1-8](#) jako

$$F_{s,Rd,ser} = \frac{k_s \mu}{\gamma_{M3,ser}} F_{p,c}$$

v mezním stavu použitelnosti $\gamma_{M3,ser} = 1,1$ ([tabulka 2.1 normy EN-1993-1-8](#))

Šrouby ve spoji kategorie C

odolné prokluzu v mezním stavu únosnosti, viz ([§ 3.4.1\(1\) \(c\) normy EN1993-1-8](#))

$$V_{Rd,fp} = \min \left(\sum F_{b,Rd}; n_{fp} F_{s,Rd} \right)$$

kde

n_{fp} a $F_{b,Rd}$ jsou definovány dále

$F_{s,Rd}$ je únosnost v prokluzu pro jednu třecí plochu jednoho šroubu třídy 8.8 nebo 10.9 v mezním stavu únosnosti, která je

$$F_{s,Rd} = \frac{k_s \mu}{\gamma_{M3}} F_{p,c}$$

v mezním stavu použitelnosti $\gamma_{M3} = 1,25$ ([tabulka 2.1 normy EN-1993-1-8](#))

6. Příložka na stěně

Za běžných okolností se vodorovná smyková síla V_{Ed} (síla od změny momentu a ne od zatížení větrem) přenáší příložkou na stěně sloupu. Nicméně V_{Ed} je většinou pro sloupy v konstrukcích, viz NCCI [SN020](#), malá a v tomto NCCI není posuzována.

Při zanedbání V_{Ed} se příložka na pásnici sloupu jednoduše posoudí na návrhovou tlakovou sílu

$$N_{Ed,wp} \leq N_{Rd,wp,c}$$

Návrhovou tlakovou sílu, která působí na příložku na stěně sloupu $N_{Ed,wp}$ se stanoví podle

$$N_{Ed,wp} = \frac{N_{Ed} A_{w,uc}}{2 A_{uc}}$$

Návrhová únosnost příložky na pásnici sloupu v tlaku $N_{Rd,wp,c}$ se vypočítá z [§ 6.2.4\(2\) normy EN1993-1-1](#)

$$N_{Rd,wp,c} = \frac{A_{wp} f_{y,p}}{\gamma_{M0}}$$

V případě, že je třeba příložku na pásnici sloupu posoudit na kombinaci osově a smykové síly, lze použít odkazu na [§ 6.2.1 \(5\) normy EN1993-1-8](#).

7. Šrouby v příložce na stěně

Při zanedbání smykové síly V_{Ed} , viz kapitola 6, se šrouby v příložce na stěně sloupu posoudí na návrhovou tlakovou sílu v příložce na stěně sloupu $N_{Ed,wp}$, která je stanovena v kapitole 6 výše

$$N_{Ed,wp} \leq V_{Rd,wp}$$

Navíc pro šrouby ve spoji kategorie B nemá návrhová síla na mezi použitelnosti být větší než únosnost v prokluzu, tj. $N_{Ed,wp,c,ser} \leq V_{Rd,wp,ser}$

Návrhová únosnost skupiny šroubů je uvedena dále.

Pro šrouby ve spoji kategorie A

v otlacení a smyku ([§ 3.4.1\(1\) \(a\) normy EN1993-1-8](#))

$$V_{Rd,wp} = \min \left(\sum F_{b,Rd} ; n_{wp} F_{v,Rd} \right)$$

kde

n_{wp} je počet šroubů, který připojuje příložku na stěně a horní sloup

$F_{b,Rd}$ je únosnost jednoho šroubu v otláčení v příložce na stěně, která je uvedena v [tabulce 3.4 normy EN1993-1-8](#) ve tvaru

$$F_{b,Rd} = \frac{k_1 \alpha_b f_{u,p} d t_{wp}}{\gamma_{M2}}$$

kde je pro tuto konfiguraci

$$\alpha_b = \min \left(\frac{e_{1,wp}}{3d_o}, \frac{p_{1,wp}}{3d_o} - \frac{1}{4}, \frac{f_{ub}}{f_{u,p}}, 1,0 \right)$$

$$k_1 = \min \left(2,8 \frac{e_{2,wp}}{d_o} - 1,7; 1,4 \frac{p_{2,wp}}{d_o} - 1,7; 2,5 \right)$$

$F_{v,Rd}$ je uvedeno v kapitole 5

Šrouby ve spoji kategorie B

odolné prokluzu v mezním stavu použitelnosti, viz [§ 3.4.1\(1\) \(b\) normy EN1993-1-8](#)

$$V_{Rd,wp} = \min \left(\sum F_{b,Rd} ; n_{wp} F_{v,Rd} \right)$$

$$V_{Rd,wp,ser} = n_{wp} F_{s,Rd,ser}$$

kde

n_{wp} , $F_{b,Rd}$ a $F_{v,Rd}$ jsou uvedeny výše

$$F_{s,Rd,ser} = \frac{k_s \mu}{\gamma_{M3,ser}} F_{p,c}$$

v mezním stavu použitelnosti $\gamma_{M3,ser} = 1,1$ ([tabulka 2.1 normy EN-1993-1-8](#))

Šrouby ve spoji kategorie C

odolné prokluzu v mezním stavu únosnosti, viz ([§ 3.4.1\(1\) \(c\) normy EN1993-1-8](#))

$$V_{Rd,wp} = \min \left(\sum F_{b,Rd} ; n_{wp} F_{s,Rd} \right)$$

kde

n_{wp} a $F_{b,Rd}$ jsou uvedeny výše

$F_{s,Rd}$ v kapitole 5

8. Šrouby ve stěně sloupu

Šrouby ve stěně sloupu se posoudí na návrhovou tlakovou sílu ve stěně sloupu

$$N_{Ed,w} \leq V_{Rd,w}$$

Navíc pro šrouby ve spoji kategorie B nemá návrhová síla na mezi použitelnosti být větší než únosnost v prokluzu, tj. $N_{Ed,w,ser} \leq V_{Rd,w,ser}$

Návrhová tlaková síla ve stěně horního sloupu $N_{Ed,w}$ se počítá z

$$N_{Ed,w} = \frac{N_{Ed} A_{w,uc}}{A_{uc}}$$

Návrhová únosnost skupiny šroubů je uvedena dále.

Pro šrouby ve spoji kategorie A

v otláčení a smyku ([§ 3.4.1\(1\) \(a\) normy EN1993-1-8](#))

$$V_{Rd,w} = \min \left(\sum F_{b,Rd} ; 2n_{wp} F_{v,Rd} \right)$$

kde

n_{wp} je počet šroubů, který připojuje příložku na stěně a horním sloup

$F_{b,Rd}$ je únosnost jednoho šroubu v otláčení ve stěně, která je uvedena v [tabulce 3.4 normy EN1993-1-8](#) ve tvaru

$$F_{b,Rd} = \frac{k_1 \alpha_b f_{u,uc} d t_{w,uc}}{\gamma_{M2}}$$

kde je pro tuto konfiguraci

$$\alpha_b = \min \left(\frac{e_{1,w}}{3d_0} ; \frac{p_{1,wp}}{3d_0} - \frac{1}{4} ; \frac{f_{ub}}{f_{u,uc}} ; 1,0 \right)$$

$$k_1 = \min \left(1,4 \frac{p_{2,wp}}{d_0} - 1,7 ; 2,5 \right)$$

$F_{v,Rd}$ je uvedeno v kapitole 5

Šrouby ve spoji kategorie B

odolné prokluzu v mezním stavu použitelnosti, viz [§ 3.4.1\(1\) \(b\) normy EN1993-1-8](#)

$$V_{Rd,wp} = \min \left(\sum F_{b,Rd} ; 2n_{wp} F_{v,Rd} \right)$$

$$V_{Rd,w,ser} = 2n_{wp} F_{s,Rd,ser}$$

kde

n_{wp} , $F_{b,Rd}$ a $F_{v,Rd}$ jsou uvedeny výše

$F_{s,Rd}$ je uvedeno v kapitole 5

Šrouby ve spoji kategorie C

odolné prokluzu v mezním stavu únosnosti, viz ([§ 3.4.1\(1\) \(c\) normy EN1993-1-8](#))

$$V_{Rd,w} \leq \min \left(\sum F_{b,Rd} ; 2n_{wp}F_{s,Rd} \right)$$

kde

n_{wp} a $F_{b,Rd}$ jsou uvedeny výše

$F_{s,Rd}$ v kapitole 5

9. Konstrukční celistvost při působení vazebných sil

Norma EN 1993-1-8 neuvádí žádná pravidla na stanovení únosnosti při působení vazebných sil. Nicméně, protože se při tomto porušení dosahuje velikých napětí a deformací, doporučuje se pro výpočet únosnosti použítí meze pevnosti f_u a dílčí součinitel spolehlivosti při působení vazebných sil $\gamma_{M,u}$ lze uvažovat 1,1.

Konzervativně lze předpokládat, že se vazebné síly ve styku sloupu příložkami přenáší pouze příložkami na pásnici.

Návrhová únosnost styku sloupu příložkami se posuzuje na návrhovou sílu ve sloupu při působení vazebných sil

$$N_{Ed,u} \leq N_{Rd,u}$$

kde

$$N_{Rd,u} = 2N_{Rd,u,fp}$$

$$N_{Rd,u,fp} = \min \left(\frac{0,9 A_{fp,net} f_{u,p}}{\gamma_{M,u}} ; n_{fp} F_{v,Rd,u} ; n_{fp} F_{b,Rd,u} \right)$$

Z [tabulky 3.4 normě EN1993-1-8](#):

$$F_{v,Rd,u} = F_{v,Rd} = \frac{\alpha_v f_{ub} A_s}{\gamma_{M,u}} \quad \text{a}$$

$$F_{b,Rd,u} = F_{b,Rd} = \frac{k_1 \alpha_b f_{u,p} d t_{fp}}{\gamma_{M,u}}$$

kde

n_{fp} je počet šroubů v jedné pásnici horního šroubu

$\gamma_{M,u} = 1,1$ pro únosnost na vazebné síly

$$\alpha_b = \min\left(\frac{e_{1,fp}}{3d_0}; \frac{p_{1,fp}}{3d_0} - \frac{1}{4}; \frac{f_{ub}}{f_{u,p}}; 1,0\right)$$

$$k_1 = \min\left(2,8 \frac{e_{2,fp}}{d_0} - 1,7; 1,4 \frac{p_{2,fp}}{d_0} - 1,7; 2,5\right)$$

10. Rozsah použití

Šrouby v běžných otvorech:

nepředpnuté šrouby třídy 4.6 až 10.9,

předpnuté šrouby třídy 8.8 nebo 10.9.

Vzdálenost spojovacích prostředků je třeba volit rovnou nebo menší než $9 t \varepsilon$, viz poznámka 2, v [tabulce 3.3 normy EN1993-1-8](#), aby se zabránilo lokálnímu boulení.

11. Literatura

Principy návrhu v této NCCI jsou založeny na:

- (1) *European recommendations for the design of simple joints in steel structures - Document prepared under the supervision of ECCS TC10 by: J.P. Jaspart, S. Renkin and M.L. Guillaume - First draft, September 2003.*
- (2) *Joints in Steel Construction – Simple Connections (P212). The Steel Construction Institute and The British Constructional Association Ltd., 2002.*

Quality Record

| | | | |
|--|---|----------------------------------|-------------|
| RESOURCE TITLE | NCCI: Design model for non-bearing column splices | | |
| Reference(s) | | | |
| ORIGINAL DOCUMENT | | | |
| | Name | Company | Date |
| Created by | Abdul Malik | The Steel Construction Institute | Feb 2005 |
| Technical content checked by | Eduarne Nunez | The Steel Construction Institute | Nov 2005 |
| Editorial content checked by | | | |
| Technical content endorsed by the following STEEL Partners: | | | |
| 1. UK | G W Owens | SCI | 11/1/06 |
| 2. France | A Bureau | CTICM | 11/1/06 |
| 3. Sweden | A Olsson | SBI | 11/1/06 |
| 4. Germany | C Müller | RWTH | 11/1/06 |
| 5. Spain | J Chica | Labein | 11/1/06 |
| Resource approved by Technical Coordinator | G W Owens | SCI | 11/05/06 |
| TRANSLATED DOCUMENT | | | |
| This Translation made and checked by: | F. Wald | CTU in Prague | 31/7/07 |
| Translated resource approved by: | J. Macháček | CTU in Prague | 31/7/07 |
| National technical contact | F. Wald | CTU in Prague | |